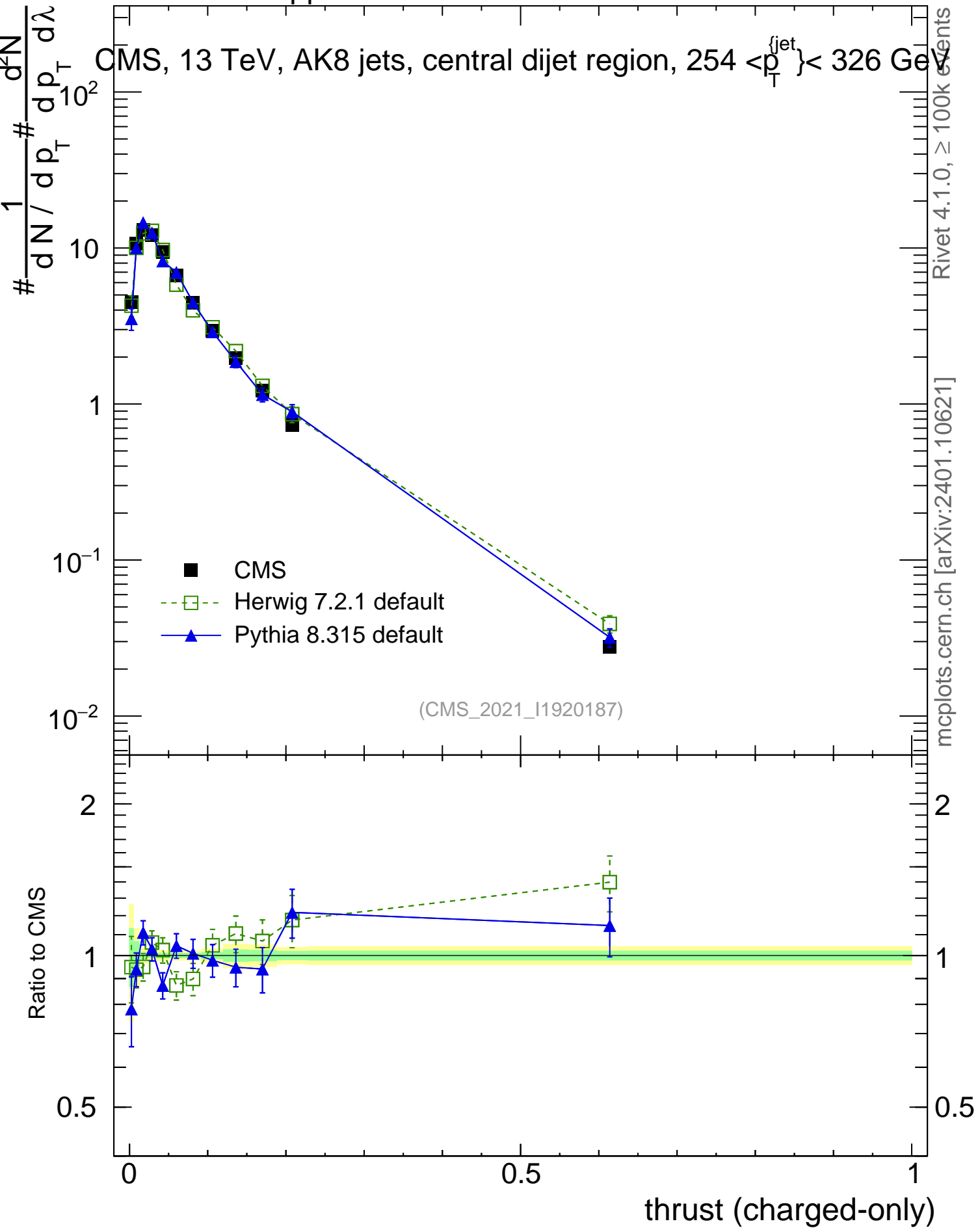


13000 GeV pp

Jets

CMS, 13 TeV, AK8 jets, central dijet region, $254 < p_T^{\text{jets}} < 326$ GeV



mcplots.cern.ch [arXiv:2401.10621]

2

1

0.5

10²

10

1

10⁻¹

10⁻²

10⁻¹

10⁻²

10⁻³

10⁻⁴

10⁻⁵

10⁻⁶

10⁻⁷

10⁻⁸

10⁻⁹

10⁻¹⁰

10⁻¹¹

10⁻¹²

10⁻¹³

10⁻¹⁴

10⁻¹⁵

10⁻¹⁶

10⁻¹⁷

10⁻¹⁸

10⁻¹⁹

10⁻²⁰

10⁻²¹

10⁻²²

10⁻²³

10⁻²⁴

10⁻²⁵

10⁻²⁶

10⁻²⁷

10⁻²⁸

10⁻²⁹

10⁻³⁰

10⁻³¹

10⁻³²

10⁻³³

10⁻³⁴

10⁻³⁵

10⁻³⁶

10⁻³⁷

10⁻³⁸

10⁻³⁹

10⁻⁴⁰

10⁻⁴¹

10⁻⁴²

10⁻⁴³

10⁻⁴⁴

10⁻⁴⁵

10⁻⁴⁶

10⁻⁴⁷

10⁻⁴⁸

10⁻⁴⁹

10⁻⁵⁰

10⁻⁵¹

10⁻⁵²

10⁻⁵³

10⁻⁵⁴

10⁻⁵⁵

10⁻⁵⁶

10⁻⁵⁷

10⁻⁵⁸

10⁻⁵⁹

10⁻⁶⁰

10⁻⁶¹

10⁻⁶²

10⁻⁶³

10⁻⁶⁴

10⁻⁶⁵

10⁻⁶⁶

10⁻⁶⁷

10⁻⁶⁸

10⁻⁶⁹

10⁻⁷⁰

10⁻⁷¹

10⁻⁷²

10⁻⁷³

10⁻⁷⁴

10⁻⁷⁵

10⁻⁷⁶

10⁻⁷⁷

10⁻⁷⁸

10⁻⁷⁹

10⁻⁸⁰

10⁻⁸¹

10⁻⁸²

10⁻⁸³

10⁻⁸⁴

10⁻⁸⁵

10⁻⁸⁶

10⁻⁸⁷

10⁻⁸⁸

10⁻⁸⁹

10⁻⁹⁰

10⁻⁹¹

10⁻⁹²

10⁻⁹³

10⁻⁹⁴

10⁻⁹⁵

10⁻⁹⁶

10⁻⁹⁷

10⁻⁹⁸

10⁻⁹⁹

10⁻¹⁰⁰

10⁻¹⁰¹

10⁻¹⁰²

10⁻¹⁰³

10⁻¹⁰⁴

10⁻¹⁰⁵

10⁻¹⁰⁶

10⁻¹⁰⁷

10⁻¹⁰⁸

10⁻¹⁰⁹

10⁻¹¹⁰

10⁻¹¹¹

10⁻¹¹²

10⁻¹¹³

10⁻¹¹⁴

10⁻¹¹⁵

10⁻¹¹⁶

10⁻¹¹⁷

10⁻¹¹⁸

10⁻¹¹⁹

10⁻¹²⁰

10⁻¹²¹

10⁻¹²²

10⁻¹²³

10⁻¹²⁴

10⁻¹²⁵

10⁻¹²⁶

10⁻¹²⁷

10⁻¹²⁸

10⁻¹²⁹

10⁻¹³⁰

10⁻¹³¹

10⁻¹³²

10⁻¹³³

10⁻¹³⁴

10⁻¹³⁵

10⁻¹³⁶

10⁻¹³⁷

10⁻¹³⁸

10⁻¹³⁹

10⁻¹⁴⁰

10⁻¹⁴¹

10⁻¹⁴²

10⁻¹⁴³

10⁻¹⁴⁴

10⁻¹⁴⁵

10⁻¹⁴⁶

10⁻¹⁴⁷

10⁻¹⁴⁸

10⁻¹⁴⁹

10⁻¹⁵⁰

10⁻¹⁵¹

10⁻¹⁵²

10⁻¹⁵³

10⁻¹⁵⁴

10⁻¹⁵⁵

10⁻¹⁵⁶

10⁻¹⁵⁷

10⁻¹⁵⁸

10⁻¹⁵⁹

10⁻¹⁶⁰

10⁻¹⁶¹

10⁻¹⁶²

10⁻¹⁶³

10⁻¹⁶⁴

10⁻¹⁶⁵

10⁻¹⁶⁶

10⁻¹⁶⁷

10⁻¹⁶⁸

10⁻¹⁶⁹

10⁻¹⁷⁰

10⁻¹⁷¹

10⁻¹⁷²

10⁻¹⁷³

10⁻¹⁷⁴

10⁻¹⁷⁵

10⁻¹⁷⁶

10⁻¹⁷⁷

10⁻¹⁷⁸

10⁻¹⁷⁹

10⁻¹⁸⁰

10⁻¹⁸¹

10⁻¹⁸²

10⁻¹⁸³

10⁻¹⁸⁴

10⁻¹⁸⁵

10⁻¹⁸⁶

10⁻¹⁸⁷

10⁻¹⁸⁸

10⁻¹⁸⁹

10⁻¹⁹⁰

10⁻¹⁹¹

10⁻¹⁹²

10⁻¹⁹³

10⁻¹⁹⁴

10⁻¹⁹⁵

10⁻¹⁹⁶

10⁻¹⁹⁷

10⁻¹⁹⁸

10⁻¹⁹⁹

10⁻²⁰⁰

10⁻²⁰¹

10⁻²⁰²

10⁻²⁰³

10⁻²⁰⁴

10⁻²⁰⁵

10⁻²⁰⁶

10⁻²⁰⁷

10⁻²⁰⁸

10⁻²⁰⁹

10⁻²¹⁰

10⁻²¹¹

10⁻²¹²

10⁻²¹³

10⁻²¹⁴

10⁻²¹⁵

10⁻²¹⁶

10⁻²¹⁷

10⁻²¹⁸

10⁻²¹⁹

10⁻²²⁰

10⁻²²¹

10⁻²²²

10⁻²²³

10⁻²²⁴

10⁻²²⁵

10⁻²²⁶

10⁻²²⁷

10⁻²²⁸

10⁻²²⁹

10⁻²³⁰

10⁻²³¹

10⁻²³²

10⁻²³³

10⁻²³⁴

10⁻²³⁵

10⁻²³⁶

10⁻²³⁷

10⁻²³⁸

10⁻²³⁹

10⁻²⁴⁰

10⁻²⁴¹

10⁻²⁴²

10⁻²⁴³